

階層構造を有するナノ粒子の原子相関 -その場、試料作製・蛍光EXAFS測定-

池本弘之(富山大学)

共同研究者 富山大学：五葉見道、前川仁志

弘前大学：宮永崇史

KEK-PF：新田清文

研究協力者 KEK-PF：稻田康宏

目次

1. 序論
2. 実験・解析方法
3. Teナノ粒子のEXAFS解析(透過法)
4. 蛍光XAFS

序論

トリゴナルテルル(t-T_e)

- 最外殻電子(5s)² (5p)⁴

価電子帯最上部: 孤立電子対(LP)

伝導帯最下部: 反結合軌道

- 半導体(光学ギャップ 0.33eV)

- 階層構造

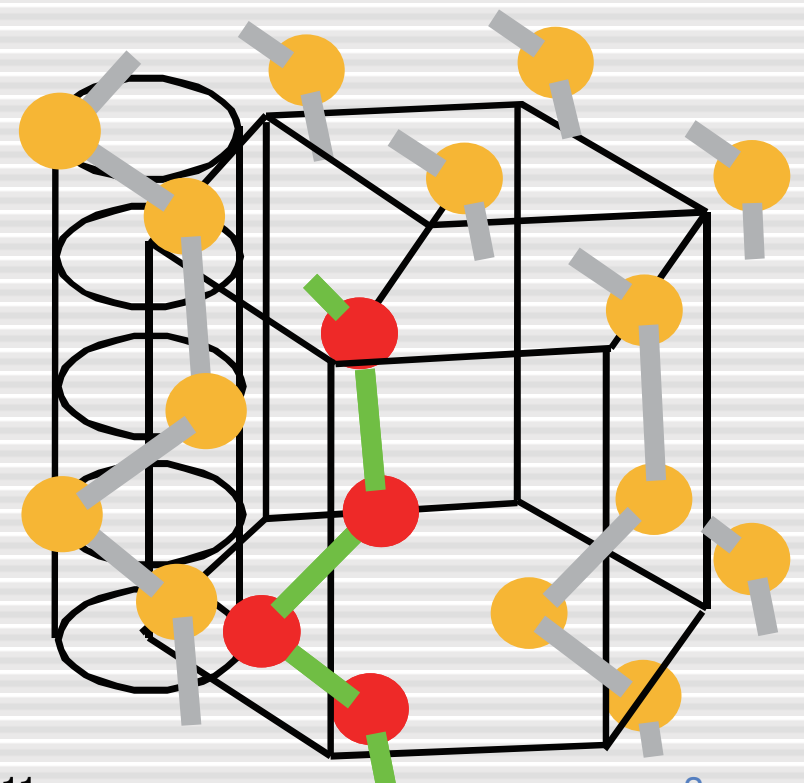
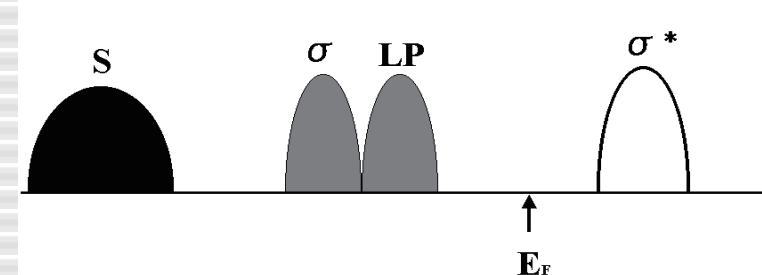
基本構造: **2配位共有結合**

3回螺旋鎖

柔軟

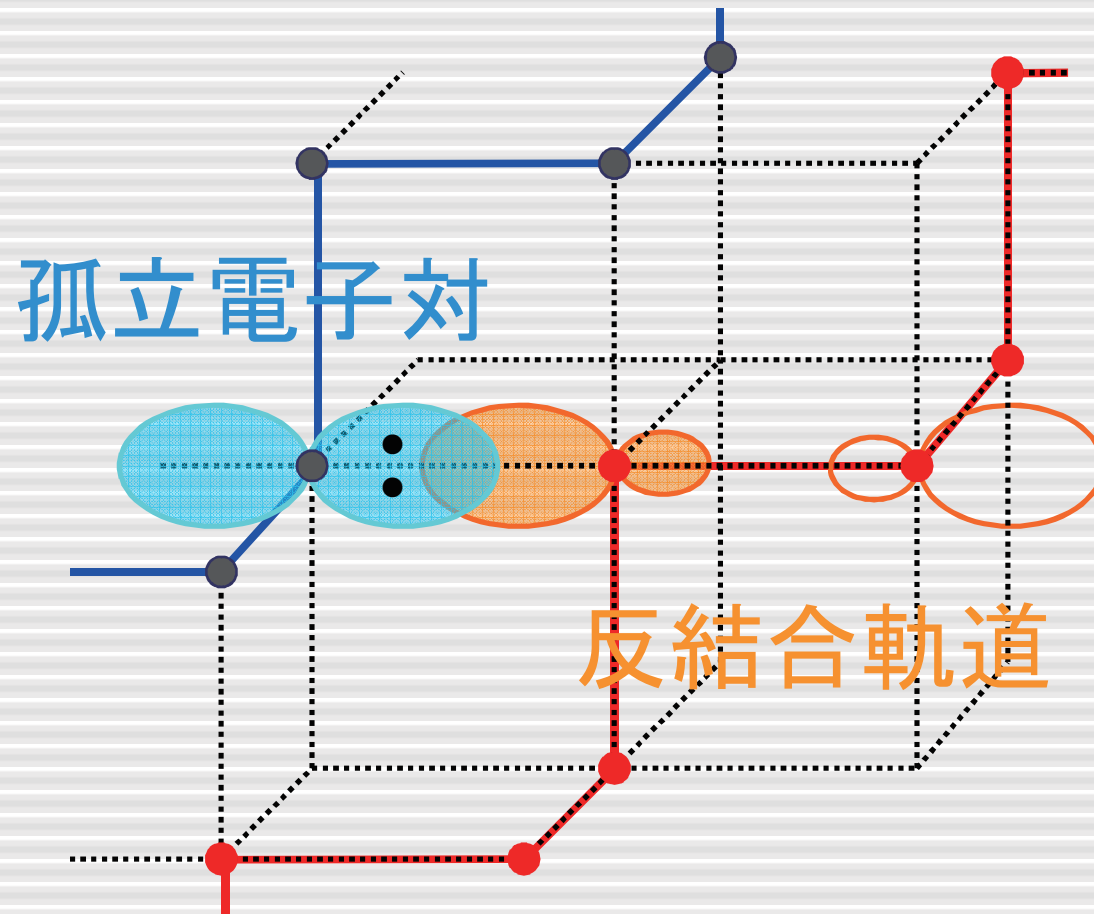
2次構造: **鎖間相互作用**

鎖同士が平行に配置



鎖間相互作用

1次構造 \longrightarrow 2次構造



孤立電子対と
反結合軌道の重なり
↓
共有結合を弱める
↓
原子間距離が伸び
る

目的

| | | 基本構造 | 二次構造 | 元素 |
|------|-----|-------|--------------------------|--------|
| 金属結合 | | 金属結合 | — | Au |
| 共有結合 | IV族 | 四面体配位 | — | Si, Ge |
| | V族 | 3配位層状 | $\sigma^*-\sigma^*$ の重なり | As, Bi |
| | VI族 | 2配位鎖状 | LP- σ^* の重なり | Se, Te |

Te: 階層構造 (異方性が強い)

Teナノ粒子

Phys. Rev. Lett., 99 (2007) 165503

実験方法

試料作製：島状蒸着

EXAFS測定：透過法

Te K-edge (31.8keV) @ PF-AR NW-10A

t-Te, Te平均膜厚(300nm,50nm,20nm,10nm,5nm,2nm,0.5nm)

測定温度 20–300K

X線回折測定

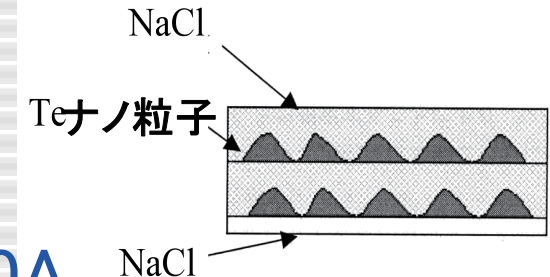
12.4keV @ PF BL-1B

Te平均膜厚(100nm,50nm,20nm,10nm,5nm,0.5nm)

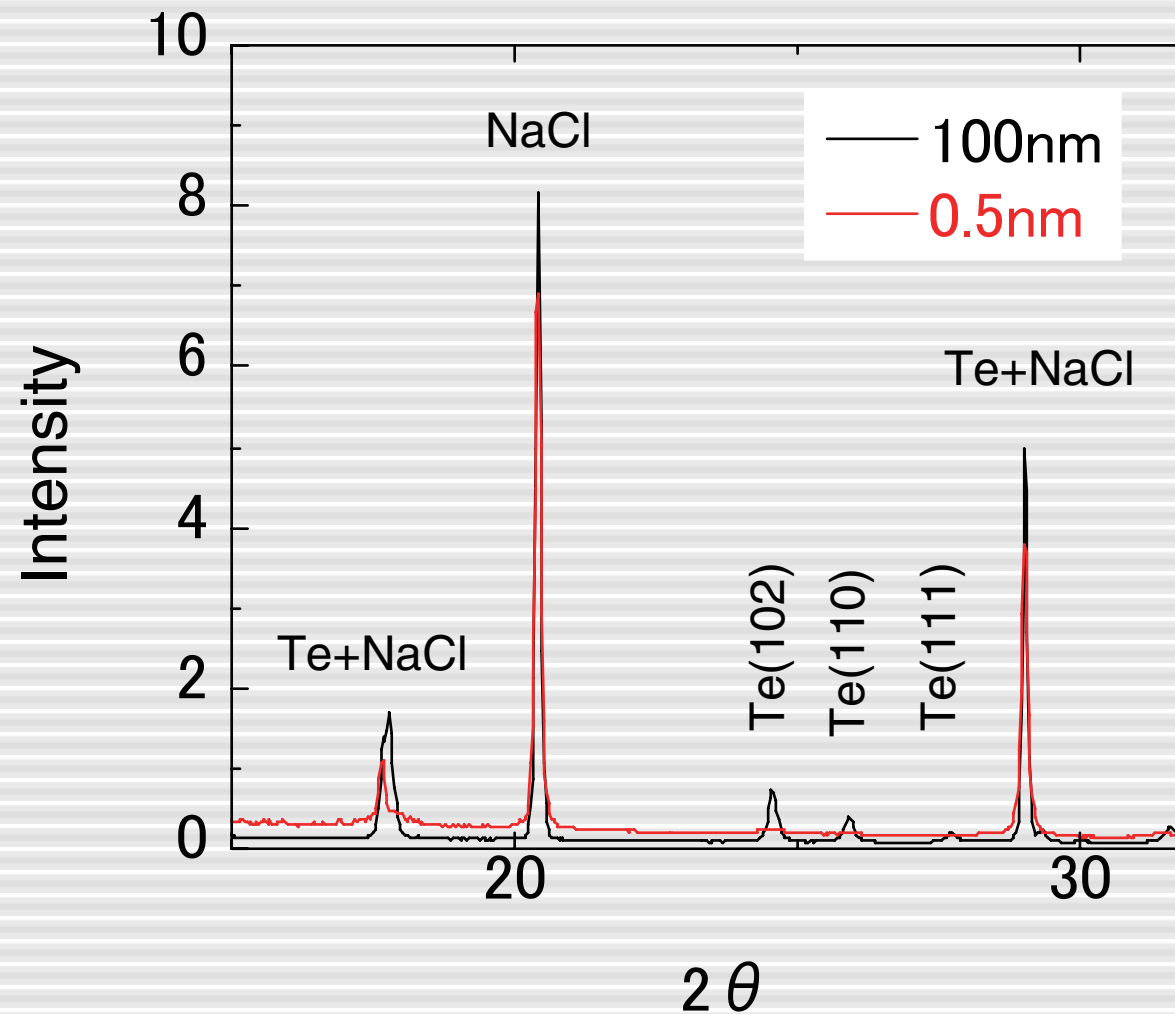
測定温度 RT

SEM像

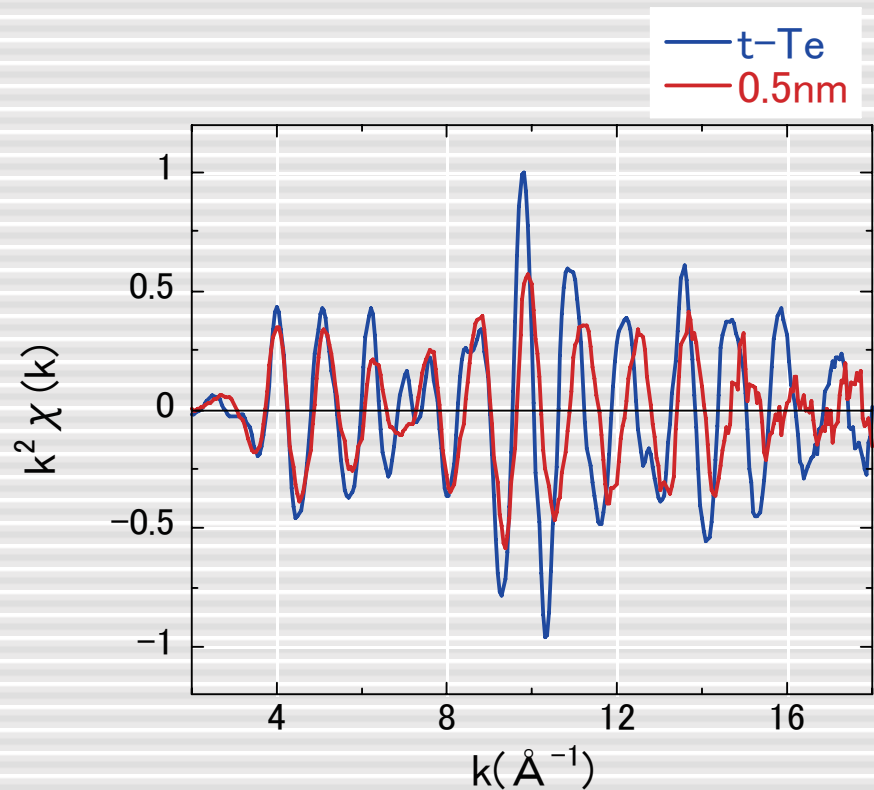
富山大学機器分析センター



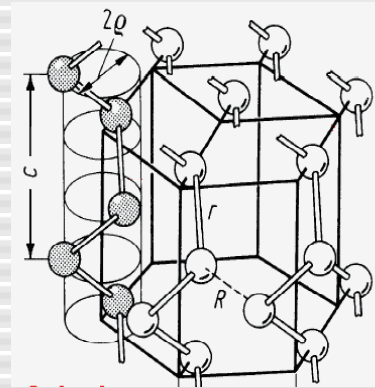
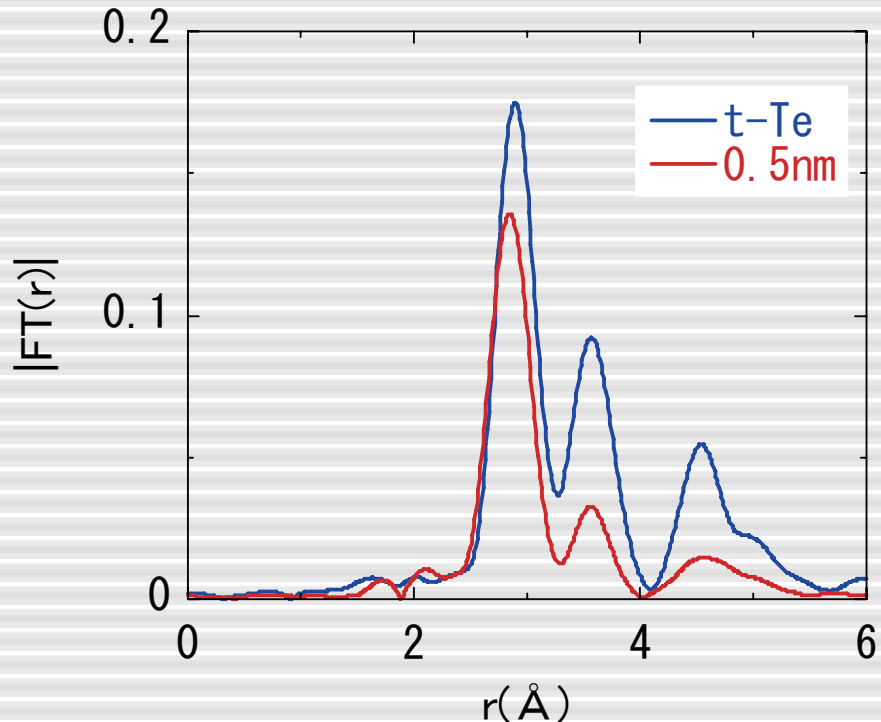
X線回折



EXAFS関数&フーリエ変換



25K



8

解析方法

EXAFS関数の最小自乗解析

2サイトフィッティング
鎖内最近接(共有結合)
鎖間最近接

$$\chi(k) = S_0^2 \sum_j \frac{N_j}{kr_j^2} f_j(k) \exp\left(-\frac{2r_j}{\lambda(k)}\right) \exp(-2\sigma_j^2 k^2) \sin(2kr_j + \phi_j(k) - \frac{4}{3}k^3 C_{3,j})$$

Einsteinモデル: Debye-Waller因子

$$\sigma^2(T) = \sigma_{static}^2 + \frac{\hbar^2}{Mk_B\Theta_E} \coth\left(\frac{\Theta_E}{2T}\right)$$

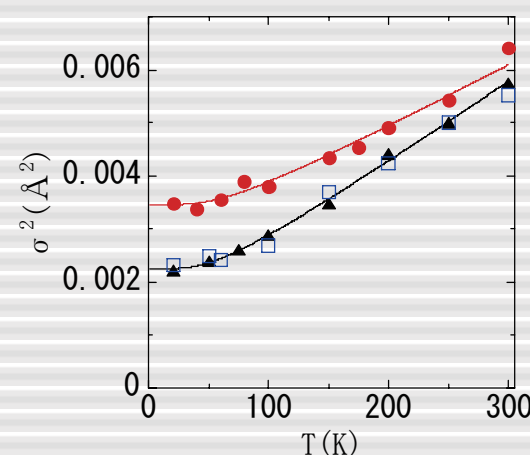
σ_{static}^2 : 静的因子

Θ_E : Einstein温度

T : 温度

M : 原子質量

k_B : ボルツマン定数



結晶とナノ粒子

| | 鎖内 | | | 鎖間 | |
|-------|-------------------|-----------------|----------------|-----------------|----------------|
| | r(Å) | N | Θ_E (K) | N | Θ_E (K) |
| t-Te | 2.834 ± 0.001 | 2.00 ± 0.03 | 154 | 4.24 ± 0.21 | 83 |
| 0.5nm | 2.787 ± 0.001 | 1.90 ± 0.06 | 171 | 2.31 ± 0.26 | 70 |

Teナノ粒子の特徴

2配位共有結合の鎖が残存
共有結合が強くなる
鎖間相互作用が減少

Einstein温度による力定数の見積

$$k = \mu \omega_E^2 = \mu \frac{k_B^2}{\hbar^2} \Theta_E^2$$

| t-Te | | | |
|-------------|-------|-------|---------------------------------|
| k (N/m) | 鎖内 | 鎖間 | $k_{\text{鎖内}} / k_{\text{鎖間}}$ |
| EXAFS解析から | 85. 8 | 25. 1 | 3. 42 |
| 文献値 * | 66. 4 | 13. 3 | 4. 99 |

* Wendel J. Phys. C: Solid State Phys. 9(1976)445

力定数 : t-Te と 0.5nm 試料

| 試料 | Einstein 温度 | | 共有結合長 | |
|-------|-------------|------|--------|------|
| | k(N/m) | 比 | k(N/m) | 比 |
| t-Te | 85.8 | | 74.1 | |
| 0.5nm | 106.3 | 1.24 | 80.4 | 1.09 |

$$k = \mu \omega_E^2 = \mu \frac{k_B^2}{\hbar^2} \Theta_E^2$$

$$k = \kappa \exp(s/r)$$

$$s = 14 \text{ [Å]}$$

$$\kappa = 0.53 \text{ [N/m]}$$

J. Mol. Struct. (Theochem) 333(1995)261

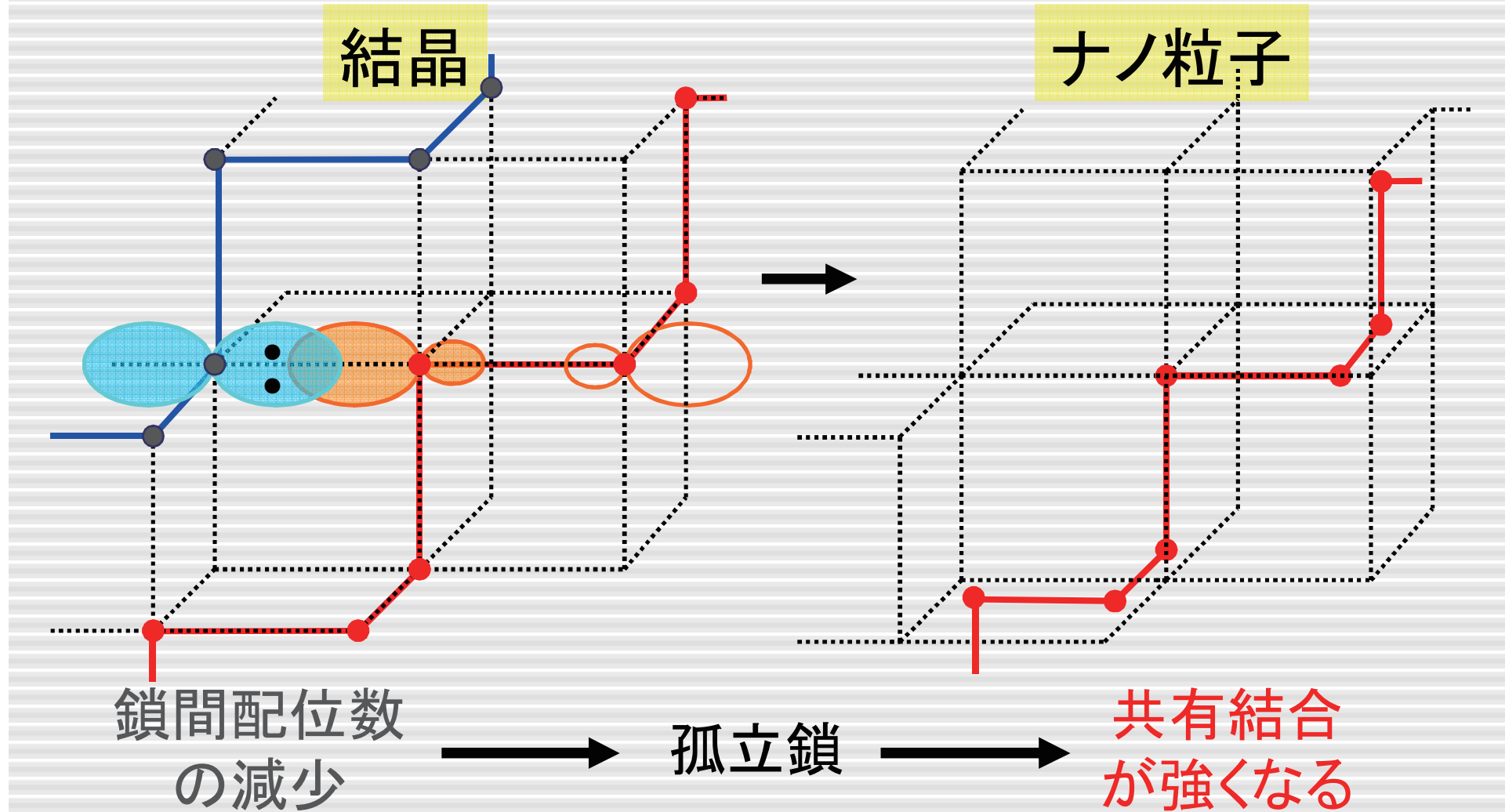
Teナノ粒子のまとめ

ナノ粒子化に伴う変化：平均膜厚10nm付近で転移

| EXAFS | 鎖内 | 鎖間 |
|-----------|-----|----------|
| 配位数 | 2配位 | 減少 |
| 原子間距離 | 短縮化 | |
| 力定数 | 増加 | 減少 |
| XRD | | |
| ブラッグピーク強度 | 減少 | → アモルファス |
| バックグラウンド | 増加 | |

鎖間相互作用の減少
鎖内の共有結合の強まり

考察

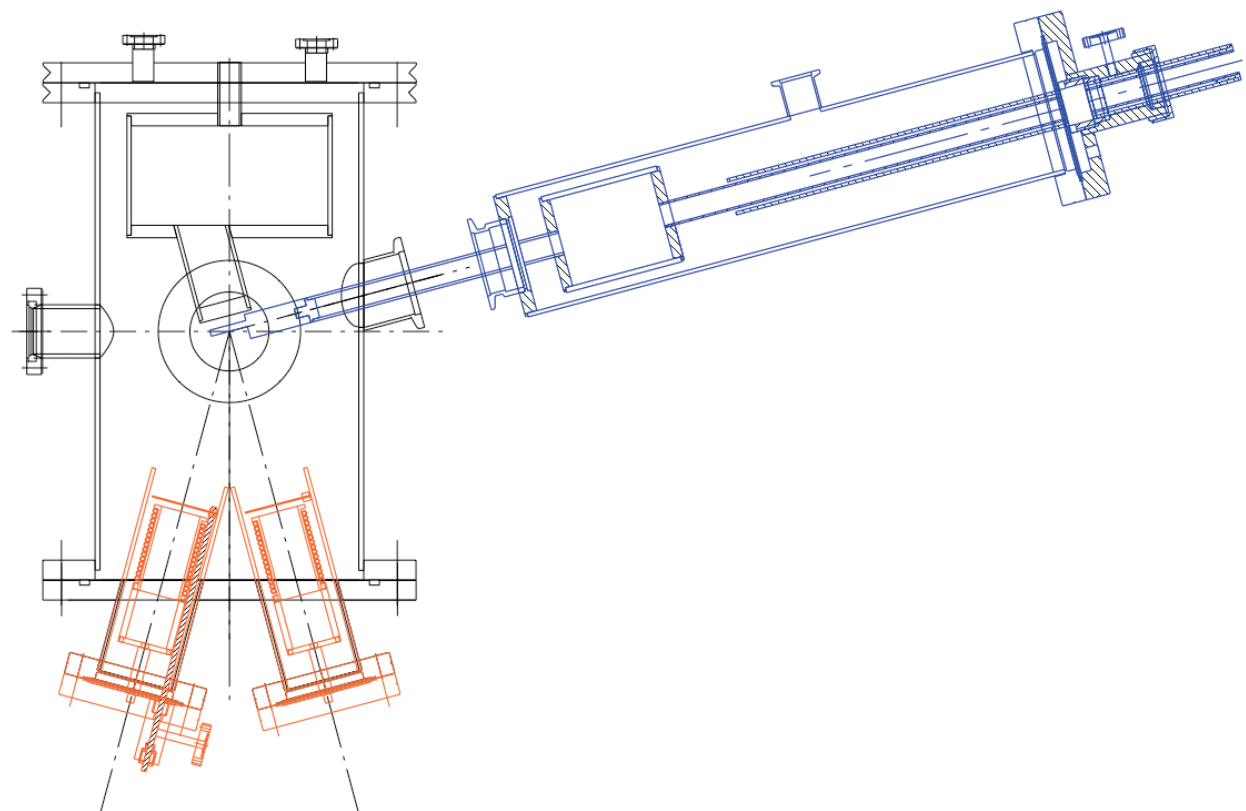


毛糸モデル

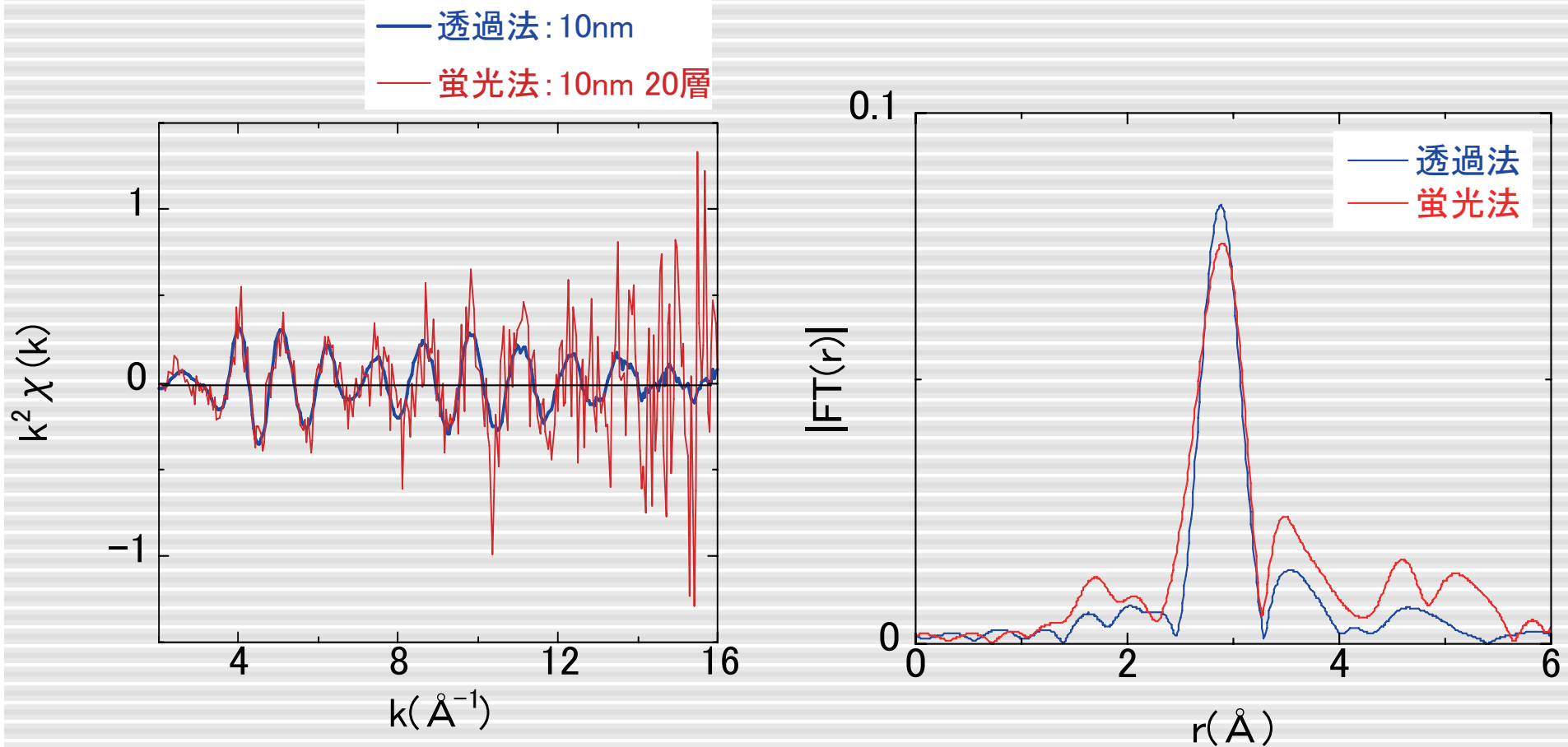


その場、試料作製＆蛍光XAFS

粒子サイズを小さく → 低温で試料作製
ナノ粒子：アモルファス → その場で測定



蛍光XAFSの予備実験



多素子SSD、室温、70分積算